

# 波浪中の直立円柱浮体の動揺と漂流について

運輸省港湾技術研究所 合田良実・銭木康正

**[I] 緒言** 海洋構造物には大きく分けて着底式、半着底および浮遊式の3種類がある。このうち前二者は比較的浅い所で有利であるのに對し、浮遊式は大水深海域において高い経済性と機能性を持っている。最近の海洋開発技術の發展は目ざましく、之に深い海域へとその対象を広げつつあり、浮遊式構造物に関する研究もこれまで多くなされ行なわれている。浮遊式構造物の場合には、一般の海洋構造物の場合と同様にそれに働く流体力が問題となると同時に、風・波・潮流等による運動特性の解明が非常に重要となる。本文では、波浪中の浮遊式構造物の運動解析の一環として直立円柱浮体を取り上げ、理論計算および模型実験によつて自由浮体の運動について検討した。

**[II] 実験概要** 今回行なった実験は、自由直立円柱浮体の動揺に対する既往の各種計算法の検証および漂流速度の測定を目的としている。

実験水路は幅1.5m、高さ1.5m、長さ40mで水路床は水平である。水路側壁の一部は強化ガラスで出来ており、外から水路内を観察できるようになっている。浮体の運動の測定は、浮体の運動が非常に微妙なものであって小さな外力により大きく変化する場合のあることを考慮し、X-Yアナライザーと呼ばれる装置を用いた。この装置はテレビと同様のものであるが画面上にX-Y座標をとつてあり、カメラの視野内の最も明るい点の位置をその座標で表わし電気量に変換することができる。したがって、周囲を暗くして浮体に明るい光源を付け、これをカメラでとらえれば浮体の運動を測定できるので、浮体にはまったく影響を与えるずにその運動を測定することができる。

円柱浮体の運動を支配するパラメータは、浮体の形状については円柱の半径 $a$ と水深 $h$ との比 $a/h$ 、吃水と水深の比 $g/h$ および重心の相対位置 $\xi_0/a$ の3つである。そこでこれらのパラメーターが運動に及ぼす影響をみるために、半径と吃水を変えた3種類の模型をアクリル樹脂で作製した。また重心の位置は、各模型とも吃水の半分のところにちょうど重心(鉄製の円板)の高さによって調節した。水深は模型寸法との対応を考慮して40cmとした。

なお、今回の実験では1台のX-Yアナライザーで浮体の運動を測定したため2方向の運動しか測定できない。そこで水平および鉛直方向の運動を測定することとし、横搖がそれらの測定記録に影響を及ぼさないよう

光源である豆電球は円柱浮体の重心の位置に取付けた。

図-1に模型円柱の形状を示し、また表-1には各模型

の諸元をまとめ表示してある。

実験に用いた波は規則波であり、入射波高は浮体動揺の計算法が微小振幅波および微小運動の仮定に基づいていることを考慮してほぼ1cmと2cmの2種類とした。また周波数としては、 $f = 0.56 \sim 1.60$  Hzの波を用いた。

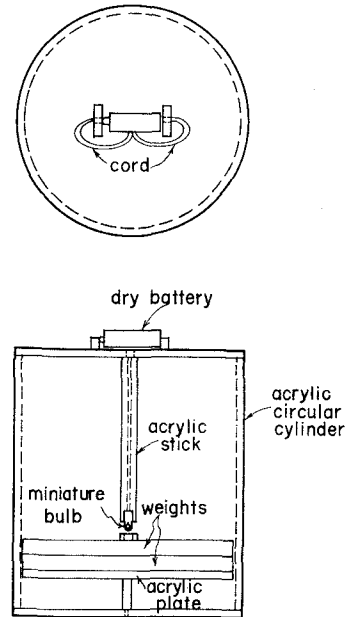


図-1 模型円柱浮体

表-1 模型の諸元

|                                  | 模 型    |        |        |        |        |
|----------------------------------|--------|--------|--------|--------|--------|
|                                  | I      | II     | III    | IV     | V      |
| 半 径<br>$a$ (cm)                  | 5      | 5      | 10     | 10     | 10     |
| 吃 水<br>$gh$ (cm)                 | 30     | 20     | 30     | 20     | 10     |
| 重 心 位 置<br>$\xi_0$ (cm)          | -15    | -10    | -15    | -10    | -5     |
| 上下揺固有周期*<br>$T_{rs}(\text{sec})$ | 1.16   | 0.95   | 1.23   | 1.02   | 0.76   |
| 横 揺 ノ<br>$T_{rl}(\text{sec})$    | 6.35   | 3.17   | 2.32   | 1.56   | 0.97   |
| 上下揺固有周期<br>$T_s(\text{sec})$     | 1.17   | 0.95   | 1.23   | 1.05   | 0.78   |
| ノ 減衰定数<br>$\beta_s$              | 0.0257 | 0.0416 | 0.0371 | 0.0421 | 0.0818 |
| 横 揺 固 有 周 期<br>$T_r(\text{sec})$ | 7.71   | 5.06   | 2.30   | 1.80   | 1.02   |
| ノ 減衰定数<br>$\beta_r$              | 0.0367 | 0.0315 | 0.0225 | 0.0310 | 0.0448 |

\* 周期に添字0をつけたものは、ボテンシャルの微密解による周期、1をつけたものは自由減衰記録から読みとった周期を表わす。

図-2のようす座標系をとると、円柱浮体は2次元運動すなわち $x$ - $z$ 平面内で運動する。横波を受ける場合を考えるとすれば、 $x$ 方向の左右揺(Swaying),  $z$ 方向の上下揺(heaving),  $y$ 軸まわりの横揺(rolling)および $x$ 方向への漂流(drifting)が起り、測定記録は一般に図-3のようになる。

[III] 実験および計算結果と考察 浮体の運動に対する運動方程式は、波および浮体の運動振幅を微小と仮定すれば非線形力が無視でき、次のように書ける。

$$(M + C_1) \ddot{x} + C_2 \dot{x} + C_3 x = F_F + F_D \quad (1)$$

$= = c'$   $M$  : 浮体の質量あるいは慣性係数

$C_1$  : 付加質量あるいは付加慣性係数

$C_2$  : 線形減衰力の係数

$C_3$  : 静水圧的復元力の係数

$x$  : 浮体の変位(水平、鉛直および回転変位)

$F_F$  : 浮体によつて乱されたり入射波の場における圧力の浮体の全没水表面における積分値(Froude-Krilloff's force)

$F_D$  : 固定浮体に働く散乱波による波力(diffraction wave forceまたはscattered wave force)で、水粒子速度および加速度に比例する力にかけられる。

式(1)左辺の各流体力係数および右辺の波浪強制力の計算法は今までに幾つか発表されている。本文では、井島らによる複形ボテンシャル理論の厳密解法<sup>1)</sup>、減衰的定常波に相当する項を省略した伊藤らによる近似解法<sup>2)</sup>、および流体力係数は実験的に求め波浪強制力をストリップ法的存考によって計算する方法<sup>3)</sup>の3種類の計算法を用いて浮体の運動を計算し、実験値とは較すことによってまず各計算法の比較検討を行なった。このうち井島法は、流本域を円柱の外側の領域と内側の領域とに分け、各領域における速度ボテンシャルを求める流体力を計算する領域分割法の一種である。また伊藤法は井島法と同様の手法をとりつつ、減衰的定常波に相当する無限級数部分を省略したもので、計算の精度は当然落らざるが計算時間を大幅に減少させることができ、波および物体の諸元が計算結果に与える影響を容易に把握できるという利点を持っている。一方ストリップ法は3次元物体を2次元的に取扱うもので、3次元流体力理論の立場からみれば厳密ではない。しかしその有効性は実験的に確かめられており、特に複雑な形状をした海洋構造物に対しては有用な計算法である。なお計算に用いた各流体力係数は、表-1に示した固有周期および減衰定数から求めた。

以上に述べたような計算法に従つて式(1)を解くと、周期的運動である左右揺、上下揺および横揺を計算することができる。計算結果と実験結果を比較した一例が図-4(1), (2)である。図の $\eta$ ,  $\zeta$ はそれぞれ左右揺および上下揺の半振幅、 $H_{in}$ は入射波高である。また、 $\Omega^2 h/g$  ( $g$ :

ごろん)

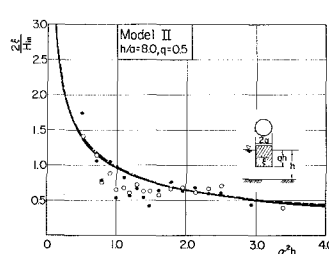


図-4 (1) 左右揺振幅に関する実験値と理論値の比較

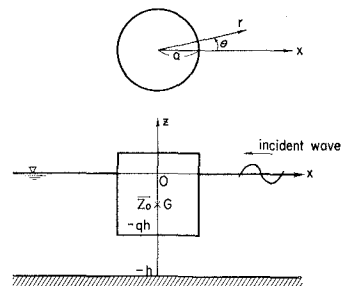


図-2 座標系

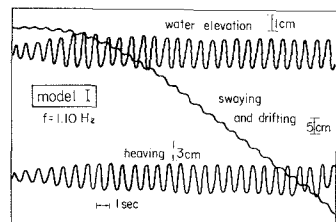


図-3 運動の測定記録例

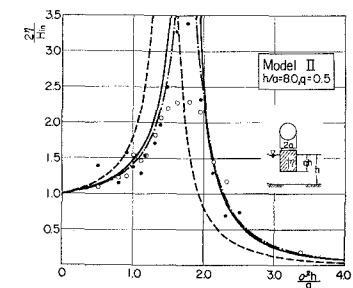


図-4 (2) 上下揺振幅に関する実験値と理論値の比較

| Legend                      |
|-----------------------------|
| — by strict method          |
| - - - by approximate method |
| — · — by strip method       |
| ○: (Hin)1 experiment        |
| ●: (Hin)2 experiment        |

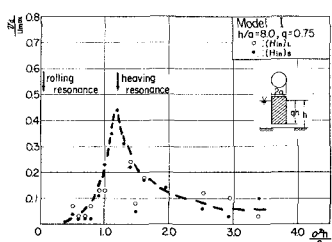
重力加速度,  $\theta = 2\pi f$  ) は一種の相対水深  $g$ , その値が  $h/L$  より小さい波が浅海波 ( $h/L \leq 0.5$ ),  $h/L$  より大きい波が深海波に対応している。模型 I ~ V について計算値と実験値を比較したところ<sup>4)</sup>, 井島法による計算結果が実験結果と最も良く合うことがわかった。以下に述べる漂流についてこの計算に用いる変動圧力, 浮体の変位および水位変動の計算式はすべて井島法による計算式を用いたことにした。ただし図-4(2)の上下揺れ振幅付近をみてみるとわかるように、非線形抵抗力を考慮しない計算値は実験値に比べて過大となることに注意が必要がある。

さて、上に述べた計算法はいずれも周期運動のみを対象としており、当然のことながら得られる解は往復運動だけである。ところが図-3からも明らかなように、自由円柱浮体は波浪中において往復運動の他に漂流する。漂流速度  $U_d$  の測定値を示すと図-5(1)~(5)のようになる。漂流速度は水面における水平粒子速度の最大値  $U_{max} = \frac{H_m}{2} \sim \text{cOTH } h/L$  ( $k: \text{波数}, k = 2\pi/L$ ) を基準値として無次元化してあり、漂流速度が  $U_{max}$  の ± 20 % 以上に達する場合が認められる。また図中には上下揺れおよび横揺れの共振点を矢印で示してあるが、その附近で漂流速度が大きくなっていること、かつ上下揺れの方が横揺れよりも漂流に与える影響の大きいことがわかる。なお図の破線は、測定値の平均的な値を示したものである。

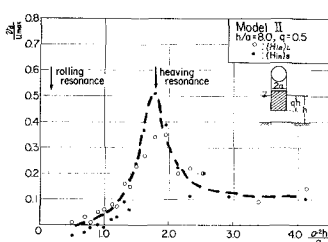
今回の実験では、規則波中ににおける漂流速度は、円柱浮体の運動が定常状態に達したのちは一定であった。したがって浮体には時間とともに変動する周期的な流体力のほかに、時間的に変化しない漂流力が加わりると考えることができる。上にも述べたように漂流現象は浮体の上下揺れおよび横揺れと密接な関係を持つている。そこで本文では、漂流現象は波および浮体の動揺との間の非線形効果によるところが大であると仮定して漂流力を計算した。すなわち、円柱浮体に作用する水平力を計算する場合に、X 方向の積分区间は線形理論では吃水から静水面までよいが、非線形効果を考慮するために積分区间を浮体の変位および水位変動を考慮して定め、それを時間平均したときに残る定常項として漂流力を求めることである。この場合考慮すべき変位は上下揺れと横揺れであるが、表-1からわかるように今回の円柱模型は横揺れの共振周期が長いので実験の対象とした波の周期の範囲からはずれるものが多いため、また上下揺れによる漂流力の方が横揺れによる力よりも大きいことから、浮体の変位としては上下揺れ変位のみを考慮した。

いま時刻  $t$  における水位変動を  $z_t$ 、浮体の上下変位を  $z_t$ 、線形理論による流体の円柱側面における変動圧力を  $p_t$  とすれば、水平方向に働く全流体力は次のように表わすことができる。

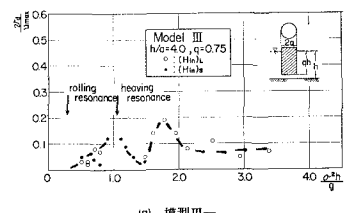
$$F_x = - \int_{-3h+z_t}^{z_t} \int_{-\pi}^{\pi} a p_t c_0 d\alpha dz + \int_{-3h+z_t}^{-3h+2t} \int_{-\pi}^{\pi} a p_t c_0 d\alpha dz$$



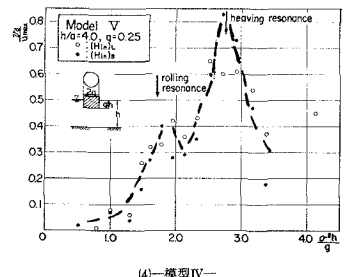
(1)-模型 I-



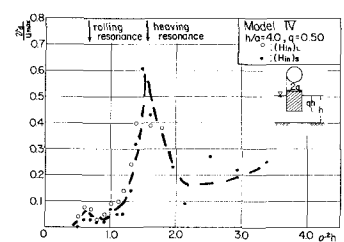
(2)-模型 II-



(3)-模型 III-



(4)-模型 IV-



(5)-模型 V-

図-5 漂流速度の測定値

$$-\int_{-Bh}^0 \int_{-\pi}^{\pi} ap_{\text{coo}} d\theta dz \quad (2)$$

上式の右辺オイレーンは線形理論における水平力であり、周期的に変化するごとにその時間平均は0となる。すなはち漂流力と実験があるのはオイレーンとオイレーンである。まずオイレーンがあるが、後述滑流理論による変動圧力、

$$p_t = -\rho \frac{\partial \zeta}{\partial t} - \rho g z \quad (\rho: \text{流体密度}, z: \text{速度ボテンシャル}) \quad (3)$$

を水位が正のときに適用するのは波力を過大に評価する可能性があり問題があるのか、式(2)のオイレーンを除き静水圧的な分布をするオイレーンだけを用いた。したがって、式(2)オイレーンによる漂流力は、入射波の周期をTとすれば次のようにある。

$$F_{d1} = -\frac{1}{2} \rho g a \cdot \frac{1}{T} \int_0^T \int_{-\pi}^{\pi} S_t / |S_t| \cos \theta d\theta dt \quad (4)$$

次に式(2)オイレーンの積分区间は浮体の水中部分であるため式(3)をそのまま用いることが可能、漂流力は次式によつて計算される。

$$F_{d2} = \frac{1}{T} \int_0^T \int_{-Bh}^{-Bh+2t} \int_{-\pi}^{\pi} ap_{\text{coo}} d\theta dz dt \quad (5)$$

以上から全漂流力は

$$F_d = F_{d1} + F_{d2} \quad (6)$$

とある。しかし実際には計算を行なったところ  $F_{d1} \ll F_{d2}$  となり、漂流力は円柱浮体の上下揺れと波との非線形効果によるものが支配的であった。

ここで問題となるのは座標系である。なぜならば、解析は空間固定座標を用い、浮体は原点のまわりに往復運動をするという仮定のもとに進行していくのにに対し、実際には浮体が漂流するために入射波との位相差が時々刻々変化するからである。すなはち、ある速度で漂流している浮体に対しても、厳密には入射波との位相の変化を考慮して解析を行なうべきであると思われる。ただし今回の実験結果をみると、漂流速度と波速の比は最大で0.058であってかなり小さいので、本文のように位相変化を考慮しない計算法によつても、漂流力を定性的に把握することは充分可能であると考えられる。また現在では漂流力は浅海修正を施した丸尾理論<sup>5)6)</sup>によつて計算されるのが一般であり、何等かの方法によつて発散波および散乱波を求めることができれば漂流力が計算できる。本文で用いた漂流力の計算法は、渡辺による漂流力理論<sup>7)</sup>と同じ考え方方に立つてゐるが、結果的には丸尾理論と同様に漂流力は流体力学の2次現象の定常現象となる。

図-6は、漂流力  $F_d$  の計算結果である。 $F_d$  は  $\rho g a S$  ( $S$ : 入射波振幅) で割り無次元化してある。縦軸は対数スケールであり、非常にシャープな形をしてゐることがわかる。左端に固定円柱浮体に作用する波力  $F_{x1}$  と  $F_d$  を各ピーク値で比較してみると、今回の模型については  $F_d$  は  $F_{x1}$  の約10%程度である、非常に小さな力である。また上下揺の同調周期で  $F_d$  は極大値を持つてゐる。なお、式(2)で  $S_t$ 、 $1_t$  および  $p$  は入射波高に比例するが、漂流力は入射波高の2乗に比例することになる。

次に漂流速度について考えてみる。いま漂流速度で移動する座標系で浮体の運動をみるみると浮体はもはや漂流せず、往復運動だけをしてゐることになる。すなはち漂流力は0となる。このことから、逆にいえ座標系をもはやままで速度で移動させて漂流力を計算し、それが0になるとよろしく

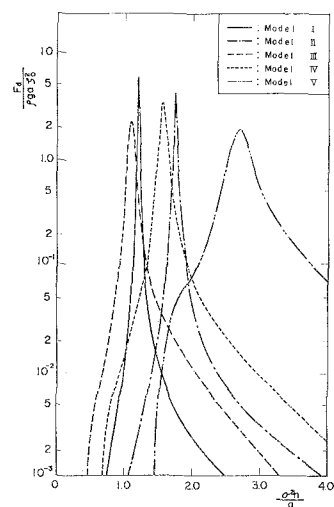


図-6 漂流力の計算結果

度が求められれば、その速度を漂流速度とすればよいことになる。しかしこの方法によって実際に漂流速度を計算するのはなかなか困難があり、また前にも述べたように漂流速度は波高に比べて非常に小さかったので本文では上に述べた方法で計算された漂流力と模型実験による漂流速度の測定値との定性的な関係を求めた。規則波中での漂流速度は一定であり加速度は0であったので、漂流力とある抵抗力がつり合っていると考えることにする。この抵抗力としては、抗力のように漂流速度の2乗に比例する力であると仮定し、次式のように表わす。

$$R_d = -g C_d \alpha g h \bar{v}_d^2 \quad (7)$$

ここで  $R_d$ : 漂流力とつり合う抵抗力

$C_d$ : 漂流運動に対する抵抗係数

上式の  $R_d$  と式(6)の  $F_d$  とがつり合っているものとすれば、 $F_d$  が入射波の2乗に比例することから漂流速度は波高に比例することになる。図-7は、波高と漂流速度との関係を実験的に調べたものである。図中の曲線は回帰曲線であり、測定結果をみると漂流速度は波高に比例するというよりは波高の1.5乗程度に比例するようであるので  $\bar{v}_d = a H^{1.5}$  ( $a$ : 定数) の回帰曲線を引いた。ただし曲線の勾配がゆるいので、波高が小さいときにには漂流速度は波高に比例するものとみなすこともできる。すなわち、本文で述べた漂流力および漂流速度の計算法は、入射波高が小さい場合に適用できる方法であるといえる。また漂流力の計算には、さらに高次の非線形力を考慮する必要があることを示唆していると考えることはできる。

さて、漂流運動につれて  $F_d = R_d$  という運動方程式が成り立つものとすれば、漂流に対する抵抗係数  $C_d$  がわかれば簡単に漂流速度を計算することができる。しかし現在までは  $C_d$  の測定例もなく、どのような値をとるべきかわかつらない。

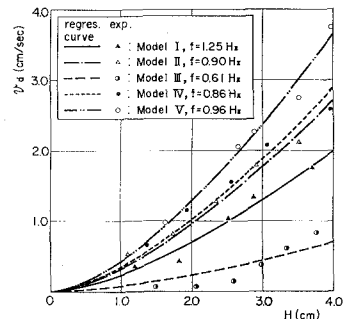
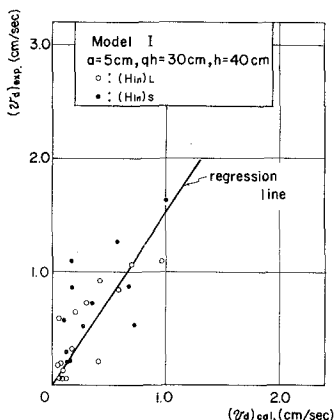
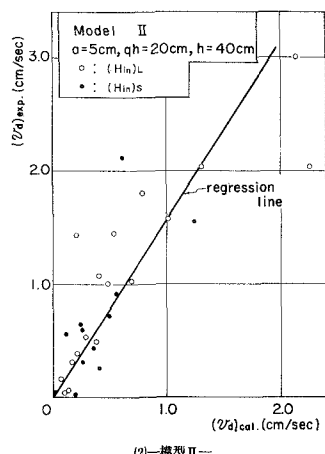


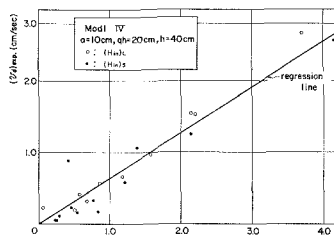
図-7 波高と漂流速度



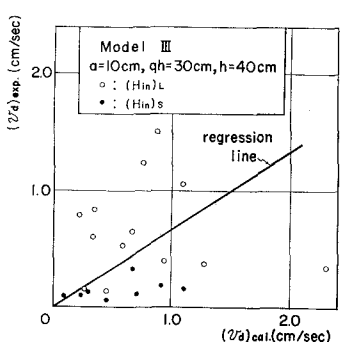
(1)-模型I-



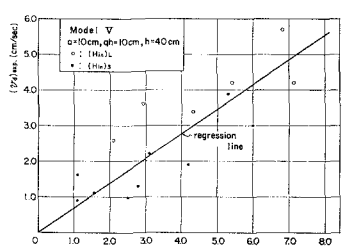
(2)-模型II-



(4)-模型IV-



(3)-模型III-



(5)-模型V-

図-8 漂流速度の測定値と計算値

そこで、漂流速度の実験値と  $C_d = 1$  おいたときの計算値を比較して、逆に  $C_d$  についての平均的な値を求めてみることにする。図-8(1)～(5)は、漂流速度の計算値 ( $v_d$ )<sub>cal</sub> と測定値 ( $v_d$ )<sub>exp</sub> との相関係数をみたものである。ばらつきもあるが、図-8(3)を除いては、きりした相関がみられる。図中の実線は原実験を通ることを条件として最小自乗法で求めた回帰直線であり、これらから各模型に対する平均的な  $C_d$  の値を計算すると表-2のようになる。なお表-2には各回の相関係数も示した。これを見ると  $C_d$  の値は吹出しにあまり関係せず、円柱浮体の半径によってほぼ一定のようである。また  $(v_d)$ <sub>cal</sub> と  $(v_d)$ <sub>exp</sub> との間にほぼきりとした相関係数があることから、抵抗係数  $C_d$  とて用ひるや適当な値がわかれば、漂流速度を計算によつて求めることができることがわかる。

また図中には現われてないが、上下振の共振点付近では漂流速度の計算値は実験値より非常に大きな値となる。これは前にも述べたように線形理論では共振点付近の運動を過大に評価してしまうからであり、回帰直線および相関係数の計算ではそれらの項を除いてある。

[IV] 結語 漂遊式構造物の波浪中の運動解析の一つとして直立円柱浮体を取り上げ、規則波中の運動を測定しその特性を調べた。その結果、往復運動はその共振点付近を除き、井島によるポテンシャル理論の厳密解法によって精度よく計算できることが実験的に確かめられ、さらに漂流現象につれていくつかの興味ある結果が得られた。本文が、漂遊式構造物の運動解析のための一助となれば幸いである。

なお今回用いた計算法および実験は、すべて規則波を対象としたものである。しかし実際の海の波は不規則波であり、slow drift oscillation など不規則波特有の問題も起つてくる。したがってより現地の現象に近づけるためには不規則波を用いた解析が必要である。また漂遊式構造物一般につれては、今後に残された最も大きな技術的問題実は係留に関する問題であり、これらについては今後も研究を続けていく予定である。

## 参考文献

- 1) 井島武士・田淵幹修・湯村やす：有限水深の波による円柱状浮体の運動、土木学会論文収集集、第206号、1972年10月、pp. 71～84.
- 2) 伊藤喜行・木原 力：円柱の動揺に伴う造波抵抗—柱の波力応答と円型浮体の挙動への応用一、港湾技術研究所報告、第11卷 第3号、1972年9月、pp. 37～58.
- 3) Tasai F., Arakawa, H. and M. Kurihara : A study on the motions of a semi-submersible catamaran hull in regular waves, Kyusu Univ. Reports of Research Institute for Applied Mechanics, Vol. XVIII, No. 60, 1970, pp. 9～32.
- 4) 会计良実・鈴木康正・鶴田 正：波浪中の直立円柱浮体に働く流体力とその運動、港湾技術研究所報告、第15卷 第2号、1976年6月、pp. 167～210.
- 5) Maruo, T. : The drift of a body floating on waves, Jour. Ship Research, Vol. 4, No. 3, Dec. 1960, pp. 1～10.
- 6) 野坂信弘：規則波中の2次元流体に働く漂流力に関する研究、西部造船会之報、第51号、1976年.
- 7) Watanabe, Y. : Some contributions to the theory of rolling, T.I.N.A., Vol. 80, 1938.

表-2 漂流の抵抗係数および漂流速度の実験値と計算値の相関係数

| 模 型     | I    | II   | III  | IV   | V    |
|---------|------|------|------|------|------|
| $C_d$   | 0.43 | 0.41 | 2.24 | 2.43 | 2.06 |
| 相 関 係 数 | 0.78 | 0.90 | 0.26 | 0.89 | 0.83 |